

# Figures du Chapitre 3



**Figure 1.** Méthode des quadrats pour évaluer le pourcentage de recouvrement des plantes dans une pelouse (photo : S. Rochefort)



**Figure 2.** Méthodes des plaques pour le dépistage des larves du sol (photo : S. Rochefort)



**Figure 3.** Méthode du perce-trou de golf pour le dépistage des larves de sol (photo : S. Rochefort)



**Figure 4.** Méthode du perce-trou de golf pour le dépistage des larves de sol (photo : S. Rochefort)



**Figure 5.** Méthode de flottaison pour le dépistage des insectes de surface (photo : S. Rochefort)



**Figure 6.** Méthode du « tug-test » pour le dépistage de la calandre du pâturen (photo : D.J. Shetlar)



**Figure 7a.** Piège-fosse. Les différents contenants du piège-fosse (photo : S. Rochefort)



**Figure 7b.** Piège-fosse. Le piège installé dans le sol (photo : S. Rochefort)



**Figure 8.** Piège lumineux de type « black light » pour le dépistage des lépidoptères, des diptères et de certains coléoptères (photo : L. Simard)



**Figure 9.** Piège à phéromone pour le scarabée japonais (photo : S. Rochefort)



**Figure 10.** Punaise prédatrice du genre *Geocoris* (photo : D.J. Shetlar)



**Figure 11a.** Plants de chiendent (photo : IQDHO)



**Figure 11b.** Plants de chiendent et ses auricules en forme de pince (photo : IQDHO)



**Figure 12a.** Plants de digitaire à maturité (photo : IQDHO)



**Figure 12b.** Pubescence sur la graine et le feuillage d'un plant de digitaire (photo : IQDHO)



**Figure 13a.** Plant mature d'échinochloa pied-de-coq (photo : IQDHO)



**Figure 13b.** Vue rapprochée de la gaine d'échinochloa pied-de-coq (photo : IQDHO)



**Figure 14a.** Plant de pâture annuel (photo : IQDHO)



**Figure 14b.** Pelouse infestée de pâture annuel (photo : IQDHO)



**Figure 15.** Sétaire glauque (photo : IQDHO)



**Figure 16a.** Plant de sétaire verte (photo : IQDHO)



**Figure 16b.** Ligule de la sétaire verte (photo : IQDHO)



**Figure 17a.** Plantule de chardon des champs (photo : IQDHO)



**Figure 17b.** Plant plus âgé de chardon des champs  
(photo : IQDHO)



**Figure 17c.** Fleur de chardon des champs  
(photo : IQDHO)



**Figure 18.** Lierre terrestre (photo : IQDHO)



**Figure 19.** Mauve à feuilles rondes (photo : IQDHO)



**Figure 20.** Oxalide d'Europe (photo : IQDHO)



**Figure 21.** Plantain majeur (photo : IQDHO)



**Figure 22a.** Pissenlit - plant en rosette  
(photo : IQDHO)



**Figure 22b.** Fleur de pissenlit (photo : IQDHO)



**Figure 22c.** Aigrette de pissenlit (photo : IQDHO)



**Figure 23.** Trèfle blanc (photo : IQDHO)



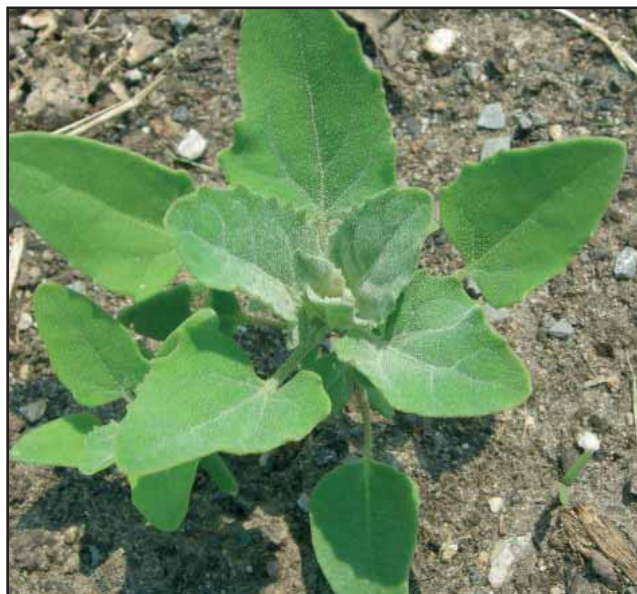
**Figure 24.** Épervière orangée (photo : University of Nebraska)



**Figure 25a.** Jeune plant de petite herbe à poux (photo : IQDHO)



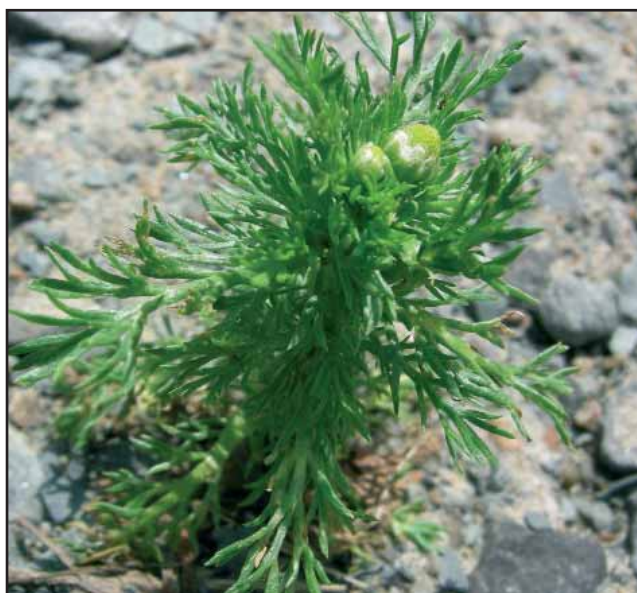
**Figure 25b.** Plant mature de petite herbe à poux (photo : IQDHO)



**Figure 26.** Chénopode blanc (photo : IQDHO)



**Figure 27a.** Matricaire odorante (photo : IQDHO)



**Figure 27b.** Matricaire odorante (photo : IQDHO)



**Figure 28.** Prêle des champs (photo : IQDHO)



**Figure 29a.** Plant de souchet (photo : IQDHO)



**Figure 29b.** Inflorescence du plant de souchet  
(photo : IQDHO)



**Figure 30a.** Larve de l'anneleur de la canneberge  
(photo : D.J. Shetlar)



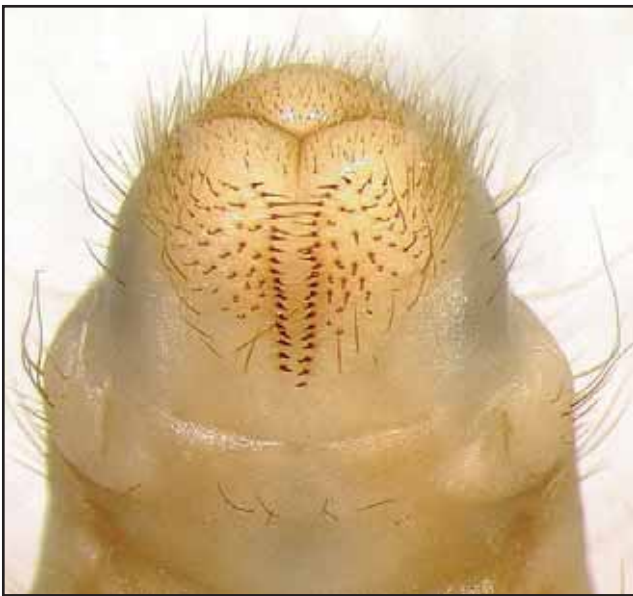
**Figure 30b.** Anneleur de la canneberge adulte  
(photo : D.J. Shetlar)



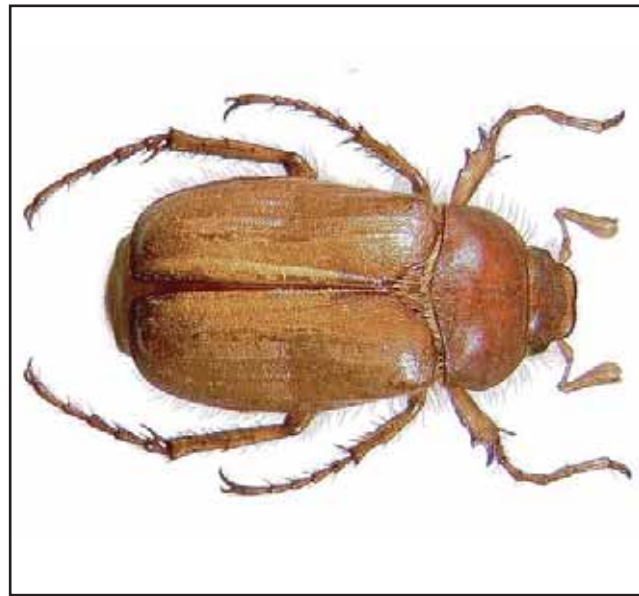
**Figure 31.** Dommages causes par l'anneleur de la canneberge  
(photo : D.J. Shetlar)



**Figure 32.** Forme en « C » des vers blancs retrouvés dans les pelouses (photo : D.J. Shetlar)



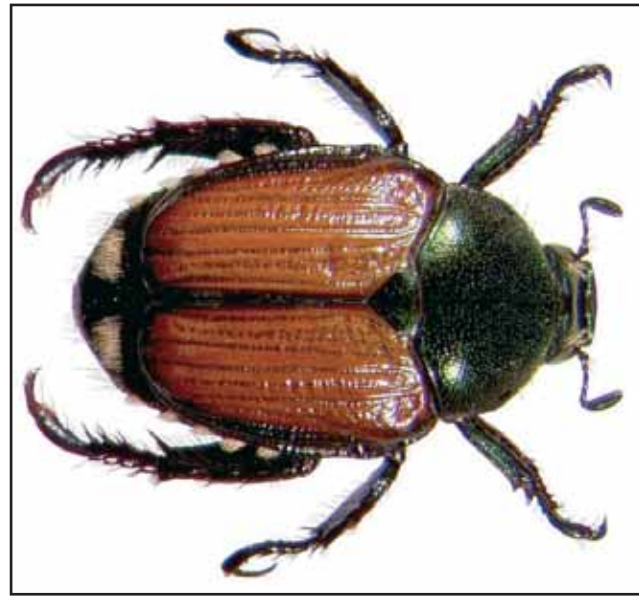
**Figure 33a.** Partie postérieure du hanneton européen  
(photo : D.J. Shetlar)



**Figure 33b.** Hanneton européen adulte (photo : D.J. Shetlar)



**Figure 34a.** Partie postérieure du scarabée japonais  
(photo : D.J. Shetlar)



**Figure 34b.** Scarabée japonais adulte (photo : D.J. Shetlar)



**Figure 35a.** Partie postérieure du hanneton commun  
(photo : D.J. Shetlar)



**Figure 35b.** Hanneton commun adulte (photo : D.J. Shetlar)



**Figure 37.** Dommages causés par la présence de vers blancs  
(photo : D.J. Shetlar)



**Figure 38.** Présence de vers blancs dans la pelouse; le système racinaire étant coupé, la pelouse se soulève facilement (photo : D.J. Shetlar)



**Figure 39.** Dommages causés par les moufettes à la recherche de vers blancs sous la pelouse (photo : D.J. Shetlar)



**Figure 40a.** Larve de la tipule européenne (photo : D.J. Shetlar)



**Figure 40b.** Adulte de la tipule européenne (photo : D.J. Shetlar)



**Figure 41.** Stades de la punaise velue, de l'œuf (gauche) à l'adulte (droite) (photo : D.J. Shetlar)



**Figure 42.** Dommages causés par les larves de punaises velues (photo : D.J. Shetlar)



**Figure 43.** Stades de développement de la calandre du pâturin (photo : D.J. Shetlar)



**Figure 44.** Dommages de la calandre du pâturen  
(photo : D.J. Shetlar)



**Figure 45.** Dommages de la calandre du pâturen; la pelouse s'arrache au niveau de la couronne  
(photo : D.J. Shetlar)



**Figure 47.** Moisissure grise des neiges (photo : D.J. Shetlar)



**Figure 48.** Tache en dollar (photo : D.J. Shetlar)



**Figure 49.** Filament rouge (photo : D.J. Shetlar)



**Figure 50.** Dommages causés par la tache helmintosporienne (photo : D.J. Shetlar)



**Figure 51.** Cercle de fées (photo : D.J. Shetlar)



**Figure 52.** Dommages causés au printemps par les moufettes à la recherche de vers blancs (photo : D.J. Shetlar)



**Figure 53.** Dommages causés par les mulots durant l'hiver (photo : S. Rochefort)

